

# 转动对电磁跃迁的影响

邢 正

(中国高等科学技术中心理论物理分中心和兰州大学)

陈 星 蕤

(兰 州 大 学)

## 摘要

利用推广的粒子-转子模型研究了  $^{159}\text{Tm}$  负宇称 Yrast 态的能谱的 Signature 分离,  $B(M1)$  值以及动力学电四极矩  $Q^{(1)}$  和  $Q^{(2)}$ , 并同实验进行了比较, 得到了较好的符合。着重分析了二级柯里奥利作用  $H'_c$  对  $B(M1)$  值的 Signature 依赖性的影响, 指出粒子-转子高级耦合项部分地等效于  $\gamma$  形变。

为了研究高自旋态时原子核可能存在的三轴形变, 稀土区奇 Z 核 ( $N \sim 90$ ,  $Z \sim 70$ ) 引起了人们广泛的兴趣, 近年来实验<sup>[1-6]</sup> 和理论<sup>[7-9]</sup> 均取得重要进展。通常由能谱的 Signature 分离来估计原子核  $\gamma$  形变的大小, 但是正如 Hamamoto<sup>[10]</sup> 所指出的, 为了得出正确的结论必须要有多重独立的实验证据。因为一类实验数据往往可以用不同方法进行解释, 因此我们除了研究能谱外, 还必须研究原子核的电磁跃迁几率。但是除了  $\gamma$  形变 (或  $\gamma$  涨落) 外, 核心的十六极形变和转动哈密顿量中的二级柯里奥利作用对  $M1$  和  $E2$  跃迁会产生重要的影响<sup>[11]</sup>。基于  $^{159}\text{Tm}$  已完成能谱,  $B(M1; I \rightarrow I - 1)$ ,  $B(E2; I \rightarrow I - 2)$  以及对  $\alpha = +1/2$  的  $B(E2; I \rightarrow I - 1)$  值的测量<sup>[3]</sup>, 本文利用推广的粒子-转子模型<sup>[11]</sup> 研究  $^{159}\text{Tm}$  带交叉前负宇称 Yrast 态的能谱, 约化电磁跃迁几率  $B(M1)$ ,  $B(E2)$ , 并同实验进行比较, 以决定其可能的三轴形变, 指出粒子-转子高级耦合项部分地等效于  $\gamma$  形变<sup>[12]</sup>。

推广的粒子-转子模型哈密顿量为

$$H_{\text{EPR}} = H_R + H_{\text{int}} + H'_c, \quad (1)$$

其中转子哈密顿量

$$H_R = \sum_{K=1}^3 \frac{R_K^2}{2J_K} = \sum_{K=1}^3 \frac{1}{2J_K} (\mathbf{I} - \mathbf{j})_K^2, \quad (2)$$

这里  $\mathbf{I}$  是总角动量,  $\mathbf{j}$  为单粒子角动量,  $J_K$  是惯量矩, 我们采用不可压缩无旋流体模型的惯量公式

$$J_K = \frac{4}{3} J_0 \sin^2 \left( \gamma + \frac{2}{3} \pi K \right), \quad K = 1, 2, 3 \quad (3)$$

内禀哈密顿量

$$H_{\text{intr}} = \sum_{\nu} (\varepsilon_{\nu} - \lambda) a_{\nu}^+ a_{\nu} + \frac{\Delta}{2} \sum_{\mu\nu} \delta_{(\mu\nu)} (a_{\mu}^+ a_{\nu}^+ + a_{\nu} a_{\mu}) \quad (4)$$

这里  $\varepsilon_{\nu}$  是势场  $V$  中的单粒子势,  $\lambda$  是费米能量,  $\Delta$  为能隙参数,  $\bar{\mu}$  是状态  $\mu$  的时间反演态, 势场  $V$  采用同  $\gamma$  有关的四极形变势(对我们感兴趣的  $^{159}\text{Tm}$ , 十六极形变是不重要的)

$$V = -\kappa \left[ \cos \gamma Y_{20}(\theta, \varphi) - \frac{\sin \gamma}{\sqrt{2}} (Y_{22}(\theta, \varphi) + Y_{2-2}(\theta, \varphi)) \right] \quad (5)$$

这里  $\kappa$  是能量单位, 同  $\beta$  形变有关, 在我们研究的区域大约为 2—2.5 MeV。

由于转子是非理想转子, 惯量矩随转动频率而变, 因而转动能量中就包含  $I(I+1)$

的高级项, 因此粒子和转子之间必然存在高级耦合项, 考虑二级耦合项(我们称它为二级柯里奥利作用)为

$$H'_C = B_0 (I_+^2 + I_-^2) (j_+^2 + j_-^2) \quad (6)$$

$B_0$  是二级惯量参数, 可由 Harris 参数来估计, 对  $A \sim 160$  的奇  $Z$  核, 数量级为  $10^{-5} \kappa$ .

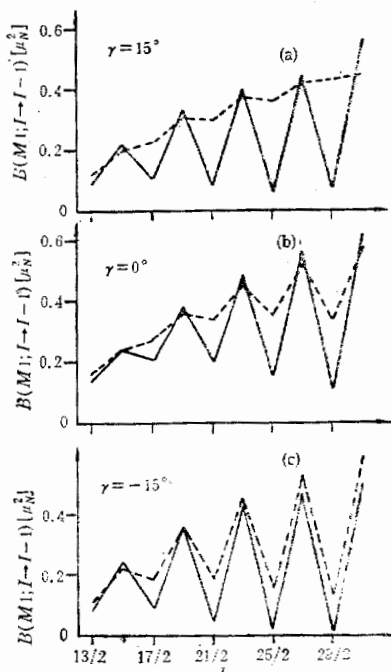


图 1  $\gamma = 15^\circ, 0^\circ, -15^\circ$  时二级柯里奥利项对  $B(M1; I \rightarrow I-1)$  的影响

使用参数为:  $\lambda = 0.1\kappa, \Delta = 0.45\kappa, J_0 = 72/\kappa, g_I = 1.0, g_s = 3.91, g_R = 0.42, B_0 = 0$  (虚线)  $B_0 = -3 \times 10^{-5}\kappa$  (实线)

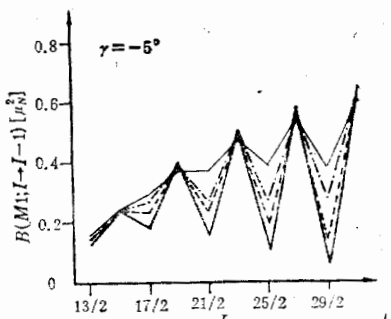


图 2 二级柯里奥利作用强度对  $B(M1; I \rightarrow I-1)$  的影响.

使用参数为  $\gamma = -5^\circ, \lambda = 0.15\kappa$ , 其它同图 1.  $B_0 = 0$  (细实线),  $B_0 = -1 \times 10^{-5}\kappa$  (点划线),  $B_0 = -3 \times 10^{-5}\kappa$  (虚线),  $B_0 = -5 \times 10^{-5}\kappa$  (粗实线).

我们注意到 Hamamoto 和 Sagawa<sup>[13]</sup>已用粒子-转子模型对  $^{159}\text{Tm}$  负字称 Yrast 态进行了理论分析, 为了拟合观测的 Yrast 能谱, 他们让参数  $J_0$  作为  $I$  的函数, 这样在能谱的拟合上就没有重要的意义, 为了在能谱和  $B(M1; I \rightarrow I-1)$  得到大的 Signature 分离,  $\gamma$  选用  $-16^\circ$ , 但是在  $I = 17/2$  时计算的  $E(M1; I \rightarrow I-1)$  的位相同实验相反,

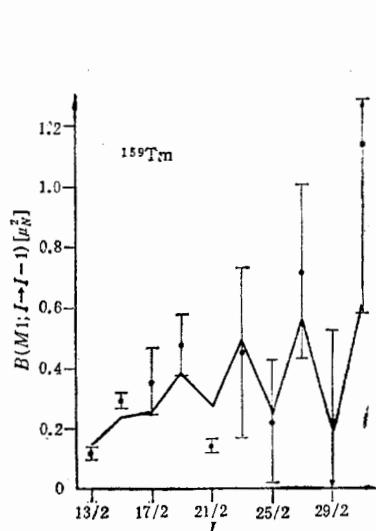


图3  $^{159}\text{Tm}$  负字称的 Yrast 态的  $B(M1; I \rightarrow I - 1)$  值同角动量  $I$  的关系。其中圆点为实验值<sup>[3]</sup>, 理论计算参数为:  $\gamma = -5^\circ$ ,  $B_0 = -2 \times 10^{-5}\kappa$ ,  $\lambda = 0.15\kappa$ ,  $\Delta = 0.45\kappa$ ,  $J_0 = 72/\kappa$ ,  $g_i = 1.0$ ,  $g_s = 3.91$ ,  $g_R = 0.42$ .

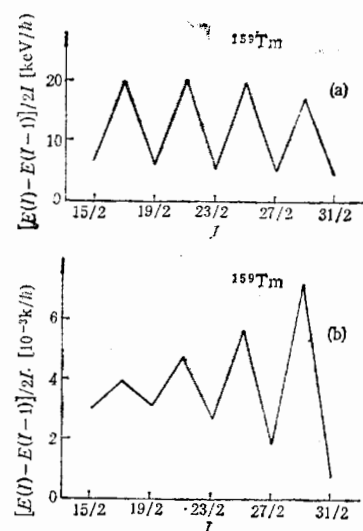


图4  $^{159}\text{Tm}$  负字称 Yrast 态的 Signature 分离同角动量  $I$  的关系  
a) 实验值<sup>[3]</sup>, b) 理论计算值,  
使用参数同图3.

问题是为拟合实验数据,  $^{159}\text{Tm}$  的  $\gamma$  形变真的要这样大吗? 粒子-转子之间的高级耦合到底起什么作用? 我们的计算结果如下:

### (1) 二级柯里奥利作用对 $B(M1; I \rightarrow I - 1)$ 的影响。

图1给出了 $\gamma$  分别为  $15^\circ, 0^\circ, -15^\circ$  时粒子-转子模型(即  $B_0 = 0$ , 图中虚线所示)和推广的粒子-转子模型(即  $B_0 \neq 0$ , 我们取  $B_0 = -3 \times 10^{-5}\kappa$ , 图中实线所示), 由图可见: a) 在  $B_0 = 0$  时, 只有  $\gamma = -15^\circ$  时  $B(M1)$  值有足够大的 Signature 分离, 这是  $^{159}\text{Tm}$  实验值的特征(见图3), 而  $\gamma = 0^\circ$  和  $15^\circ$  时 Signature 分离较小. b) 当  $B_0 = 0$  时, 对  $\gamma = 0^\circ$  和  $15^\circ$ , 角动量  $I$  从  $I = 15/2$  到  $17/2$   $B(M1)$  值上升,  $^{159}\text{Tm}$  的实验值(见图3)正具有这个特征, 但是  $\gamma = -15^\circ$  不具有此特征. c) 当  $B_0 = -3 \times 10^{-5}\kappa$  时, 对  $\gamma = +15^\circ, 0^\circ, -15^\circ$   $B(M1)$  值都显示了强烈的 Signature 依赖性, 但它对 Signature 平均值下降. 计算表明它主要是减小从  $u$  态 (Unfavored-Signature States) 到  $f$  态 (Favored-Signature States) 跃迁的  $B(M1; I \rightarrow I - 1)$  值, 这里  $u$  态和  $f$  态的 Signature 定义为:

$$\alpha_u = \frac{1}{2} (-)^{j+\frac{1}{2}}, \quad \alpha_f = \frac{1}{2} (-)^{j-\frac{1}{2}}, \quad (7)$$

而总自旋  $I$  同 Signature  $\alpha$  的关系为

$$I = \alpha \bmod 2. \quad (8)$$

d) 随着  $I$  加大,  $B_0$  影响加大,  $B(M1)$  值 Signature 依赖性加剧. e) 一个重要结果是:  $\gamma = 0^\circ$  时, 包含二级柯里奥利作用引起  $B(M1)$  值的 Signature 依赖特征(图1(b)实

线)和  $\gamma = -15^\circ$ ,  $B_0 = 0$  时(图 1(c) 虚线)的结果非常类似, 而文 [11] 指出  $B(E2)$  值也具有这样的特征, 计算暗示粒子-转子之间的高级耦合项部分地等效于三轴形变.

### (2) 作用强度 $|B_0|$ 同 $B(M1; I \rightarrow I-1)$ 值的关系.

图 2 给出了  $B_0 = 0, -1 \times 10^{-5}\kappa, -3 \times 10^{-5}\kappa$  和  $-5 \times 10^{-5}\kappa$  时计算的结果, 易见随着作用强度  $|B_0|$  的加大,  $B(M1)$  值的 Signature 依赖性加剧, 且随  $I$  加大而增大. 因此, 为了拟合  $^{159}\text{Tm}$   $B(M1)$  的实验值,  $\gamma$  形变不能太大(例如  $\gamma = -15^\circ$ ), 以保证  $I \leq 19/2$  时  $B(M1)$  值随  $I$  增加而增加, 另一方面又必须考虑二级柯里奥利项, 以保证  $B(M1)$  在  $I$  大时有较大的 Signature 依赖性.

### (3) $^{159}\text{Tm}$ 理论计算与实验结果的比较,

图 3—5 给出了  $B(M1; I \rightarrow I-1)$  值, 能谱的 Signature 分离  $[E(I) - E(I-1)]/2I$  以及动力学电四极矩  $Q^{(1)}, Q^{(2)}$  值, 并同实验进行了比较. 实验数据取自文献 [3], 这里的动力学电四极矩  $Q^{(1)}$  和  $Q^{(2)}$  由下述公式定义:

$$\begin{aligned} B(E2; I \rightarrow I-1) &= \frac{5}{16\pi} \langle IK20 | I-1K \rangle^2 Q^{(1)^2}, \\ B(E2; I \rightarrow I-2) &= \frac{5}{16\pi} \langle IK20 | I-2K \rangle^2 Q^{(2)^2}. \end{aligned} \quad (9)$$

由图可见理论计算的能谱,  $B(M1)$ ,  $Q^{(1)}$  和  $Q^{(2)}$  值同实验值定性符合, 但是能谱的 Signature 分离理论值比实验值要小, 但这里  $J_0$  是一固定参数, 在这样的简化模型下得到理论值同实验值位相一致, 因而数值上的差异不应该看作一个严重问题.

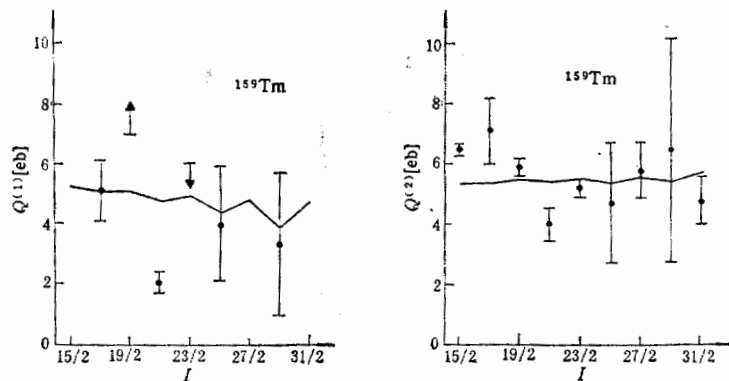


图 5  $^{159}\text{Tm}$  负字称  $Y_{1/2}$  态的动力学电四极矩  $Q^{(1)}, Q^{(2)}$  同角动量  $I$  的关系  
圆点为实验点<sup>[3]</sup>, 理论参数:  $Q_0^2 = 30.3 e^2 b^2$ , 等效电荷  $e_{\text{eff}} \langle r^2 \rangle / Q_0 = 0.28e$ . 其它同图 3.

(4) 由于二级柯里奥利力对电磁跃迁几率的 Signature 依赖性起着重要作用, 因此在分析核的三轴形变时必须包含二级柯里奥利项  $H'_c$ , 从我们的理论同实验符合的程度来看  $^{159}\text{Tm}$  的  $\gamma$  形变为  $-20^\circ$ <sup>[2]</sup> 或  $-16^\circ$ <sup>[12]</sup> 是值得怀疑的. 从实验数据提取的信息也许表明它基本上是轴对称的, 但由于转动, 存在着粒子和转子之间高级耦合项, 它部分地等效于  $\gamma$  形变. 到底如何需要更多的实验数据来判定.

本文使用的计算程序是在 I. Hamamoto 教授提供的程序基础上编制的, 计算在兰

州大学计算中心 M-340S 机上完成的。作者对 I. Hamamoto 教授和兰州大学计算中心提供的帮助表示感谢。

### 参 考 文 献

- [1] A. Larabee et al., *Phys. Rev.*, **24C**(1981), 2367.  
*Phys. Rev.*, **29C**(1984), 1934.
- [2] R. Holzmann et al., *Phys. Rev.*, **31C**(1985), 421.
- [3] J. Gascon et al., *Nucl. Phys.*, **A467**(1987), 539.
- [4] S. Jonsson et al., *Nucl. Phys.*, **A422**(1984), 397.
- [5] P. Frandsen et al., *Phys. Lett.*, **B177**(1986), 287.
- [6] G. B. Hagemann et al., *Nucl. Phys.*, **A424**(1984), 365.
- [7] I. Hamamoto and B. Mottelson, *Phys. Lett.*, **132B**(1983), 7.
- [8] I. Hamamoto and B. Mottelson, *Phys. Lett.*, **167B**(1986), 370.
- [9] I. Hamamoto and Z. Xing, *Phys. Scripta*, **33**(1986), 210.
- [10] I. Hamamoto, Preprint Lund-Mph-87/03.
- [11] 邢正, 谢红星, 高能物理与核物理, 稀土区奇A核 M1 和 E2 跃迁的性质,(待发表)。
- [12] 曾谨言, 私人通讯中提出了这一看法。
- [13] I. Hamamoto and Sagawa Preprint Lund-Mph-87/18.

## ROTATIONAL EFFECT ON ELECTROMAGNETIC TRANSITIONS IN NUCLEI

XING ZHENG

(Center of Theoretical Physics, CCAST (World Lab.) and Lanzhou University)

CHEM XINGQU

(Lanzhou University)

### ABSTRACT

The signature-splitting of the energies,  $B(M1)$ -values and dynamical quadrupole moments in  $^{159}\text{Tm}$  are investigated by means of the extended particle-rotor model. In particular, the effect of second-order Coriolis interaction on the signature-dependence of  $B(M1)$ -values is discussed. It was noted that the calculated values are in qualitative agreement with the measured data.